

تحلیل و پنهان‌بندی مخاطرات ژئومورفیک مناطق شمال کشور

با استفاده از فرایند تحلیل شبکه

مطالعه موردی: استان گیلان

پیام جعفری^۱

تاریخ پذیرش مقاله: ۹۵/۱۱/۱۸

تاریخ دریافت مقاله: ۹۵/۰۴/۳۱

چکیده

امروزه شهرها، در نقاط مختلف دنیا به دلایل متعدد در معرض آسیب ناشی از مخاطرات طبیعی قرار دارند، این مخاطرات که آسیب‌های جانی و مالی بسیاری با خود به همراه دارند نیازمند اقدامات فوری و پیشگیرانه می‌باشند. بر بنای برنامه استراتژیک بین‌المللی کاهش بلاای سازمان ملل متحد، کلیه مخاطرات دارای دو منشأ طبیعی و فعالیت‌های انسانی می‌باشد. استان گیلان یکی از استان‌های ساحلی شمال ایران به مرکزیت کلان شهر رشت می‌باشد. هدف از پژوهش حاضر تحلیل و پنهان‌بندی مخاطرات ژئومورفیک در استان گیلان می‌باشد. روش انجام این تحقیق به دو صورت توصیفی - تحلیلی و تجربی است که در بخش توصیفی با استفاده از مطالعات اسنادی و در بخش تحلیلی نیز با شناسایی پارامترهای مؤثر در پنهان‌بندی مخاطرات ژئومورفیک و تلفیق آن با تحلیل‌های فضایی در سیستم اطلاعات جغرافیایی (GIS) پنهان‌های آسیب‌پذیر در محدوده مطالعه مشخص گردید. در این پژوهش ابتدا عوامل مؤثر در پنهان‌بندی مخاطرات شناسایی شدند. سپس به منظور سنجش میزان اهمیت هر یک از این عوامل، پرسشنامه‌ای تدوین شد تا با روش ANP و با اخذ نظرات کارشناسان مربوطه در زمینه هر یک از عوامل شناسایی شده، بتوان به اهداف پژوهش دست یافت. پس از اخذ نظرات و با استفاده از روش منطق فازی به ارزش‌گذاری هریک از معیارها و تعیین ضرایب اهمیت آنها پرداخته شد و براساس نتایج آن، ارزیابی فضایی با استفاده از نرم افزار ARC GIS صورت گرفت و پنهان‌های پر مخاطره مشخص گردید. نتایج نشان داده است که به کارگیری منطق فازی به همراه تحلیل فضایی GIS توانسته است به عنوان ابزاری کارآمد در پنهان‌بندی مخاطرات ژئومورفیک مورد استفاده قرار گیرد و به خوبی قابلیت و توانایی مدل تحلیلی پژوهش را به اثبات برساند.

واژه‌های کلیدی: مخاطرات ژئومورفیک، امنیت، تحلیل فضایی، منطق فازی، استان گیلان.

۱- دانشجوی کارشناسی ارشد شهرسازی، دانشگاه گیلان، گیلان، ایران

۲- استادیار ، ژئومورفولوژی، گروه جغرافیا ، دانشگاه گیلان ، رشت، ایران (نویسنده مسئول)، Shahzeidi2012@yahoo.com

مقدمه

این شهرستان در پهنه‌ای با خطر زیاد تا نسبتاً زیاد واقع شده است و ۶۲ درصد از جمعیت شهرستان و ۷۸ روستایی که در اطراف گسل تبریز زندگی می‌کنند، از خطر پذیری بسیار بالایی برخوردارند. فاطمی عقدا و همکاران (۱۳۸۴) به بررسی خطر زمین با استفاده از منطقه فازی در منطقه روبار پرداختند و نتایج حاصله از منطقه مورد مطالعه را به صورت نقشه پتانسیل خطر زمین لغزش تهیه و ارائه دادند. نقشه‌های ارائه شده شامل نقشه‌های خطر لغزش‌های خاکی و سنگی و ریزش و... می‌باشد و نتایج حاصله بیانگر وقوع ۶۸/۳۰ درصد از خطرات زمین در سطحی برابر ۴۴/۷۹ درصد بوده و تراکم آن در رده‌های با خطر بسیار بیشتر از مقدار آن در رده‌های خطر پایین است. میرصفاری و مقیمی (۱۳۸۸) به ارزیابی ژئومورفولوژیکی توسعه شهری و آسیب پذیری ناشی از زمین لغزش در دامنه‌های کوهستانی کلان شهر تهران پرداختند و نتایج حاصله نشان داد که برخی از محدوده‌های کوهستانی کلان شهر تهران مستعد حرکات لغزشی با خطر متوسط به بالا هستند. در زمان حاضر حدود ۸۷۵ هکتار از مناطق مسکونی محدوده‌های کوهستانی شهر در پهنه‌های با خطر متوسط به بالا توسعه یافته اند که در نتیجه آن خسارتی به برخی از واحدهای مسکونی وارد شده است. کامردهال (۲۰۰۸) در مطالعه‌ای با هدف تهیه نقشه‌های وقوع خطر زمین لغزش در مناطق کوهستانی (همالیا) پرداخت که این نقشه‌ها ابزار اساسی برای مدیریت بحران در نواحی کوهستانی محسوب می‌شد. وی به این نتیجه رسید که زیان‌های اجتماعی و اقتصادی از مخاطرات زمین (پذیده زمین لغزش) را می‌توان با استفاده از برنامه‌ریزی و مدیریت مؤثر کاهش داد که این رویکردها را محدودیت توسعه در مناطق مستعد؛ استفاده از حفاری، درجه‌بندی، محوطه‌سازی و ساخت و ساز، کدبندی، استفاده از اقدام‌های فیزکی مانند زهکشی، اصلاح مورفومتری شبی، برای جلوگیری از حرکات دامنه‌ای یا کنترل آن و توسعه سیستم‌های هشدار دهنده دانست. پور قاسمی (۱۳۹۱) با هدف پهنه‌بندی خطر زمین لغزش

ژئومورفولوژی یکی از پویاترین رشته‌های علوم جغرافیایی در زمینه کاربردی است و مطالعات ژئومورفولوژیک ارتباط بین عوامل محیطی و لندفرم‌های زمین را نشان می‌دهد (رامشت و شاه زیدی، ۱۳۹۰: ۱). این ارتباط به حدی است که دانشمندان علوم زمین، پدیده‌های سطح زمین را حاصل دو نیروی شکل‌زای بیرونی و درونی می‌دانند (زمردیان، ۱۳۹۱: ۲۰). مخاطرات طبیعی در بین محققین علوم مختلف مورد توجه قرار گرفته است و سعی دارد به تحلیل علل این پدیده و تأثیراتی که چنین تغییراتی بر سطح کره زمین می‌گذارد بپردازد و آن را به عنوان یکی از بزرگترین عوامل در عدم توسعه مناطق معرفی می‌کند (حجازی، ۱۳۹۵: ۱۶). ایران با تنوع توپوگرافی و فعالیت‌های زمین ساختی و لرزه خیزی، شرایط متنوع اقلیمی و زمین شناسی، شرایط طبیعی شامل طیف وسیعی از مخاطرات ژئومورفیک مثل فرسایش، زمین لرزه، سیلاب، حرکات دامنه‌ای و... است (نصیری، ۱۳۹۳: ۱). در طول تاریخ تمدن بشر، انسان همواره در محیط زندگی خود با مخاطرات طبیعی زیادی رو به رو بوده و عکس العمل انسان در برابر مخاطرات به صورت تغییر مکان، کوچ و اسکان در جای امن‌تر مشهود بوده است. اما امروزه انسان سعی در شناخت این پدیده و عوامل به وجود آورده آن دارد. استان گیلان نیز از مخاطرات ژئومورفیک در امان نبوده است و در مطالعات میدانی و اسنادی و رصد نقشه‌های توپوگرافی و تصاویر ماهواره‌ای شناخت عوامل مخاطره‌زا بررسی و تأیید شد و سعی گردید این مقاله با روش‌های نوین در نرم افزار جی. آی. اس بررسی شود. در این راستا مطالعات بسیاری صورت گرفته است که در ذیل به برخی از آن‌ها اشاره می‌شود.

کرمی و همکاران (۱۳۷۸) در تحقیقی تحت عنوان پهنه‌بندی خطر زمین لرزه در شهرستان بستان آباد به شناسایی و برآورد توان لرزه‌زا گسل‌های فعال منطقه پرداختند و نواحی پر خطر تا کم خطر را ترسیم کردند و نتایج این پژوهش نشان داد که ۸۱/۴۳ درصد از مساحت

فصلنامه علمی - پژوهشی اطلاعات جغرافیایی (میر)
تحلیل و پنهانه‌بندی مخاطرات زئومورفیک ... / ۱۹۵

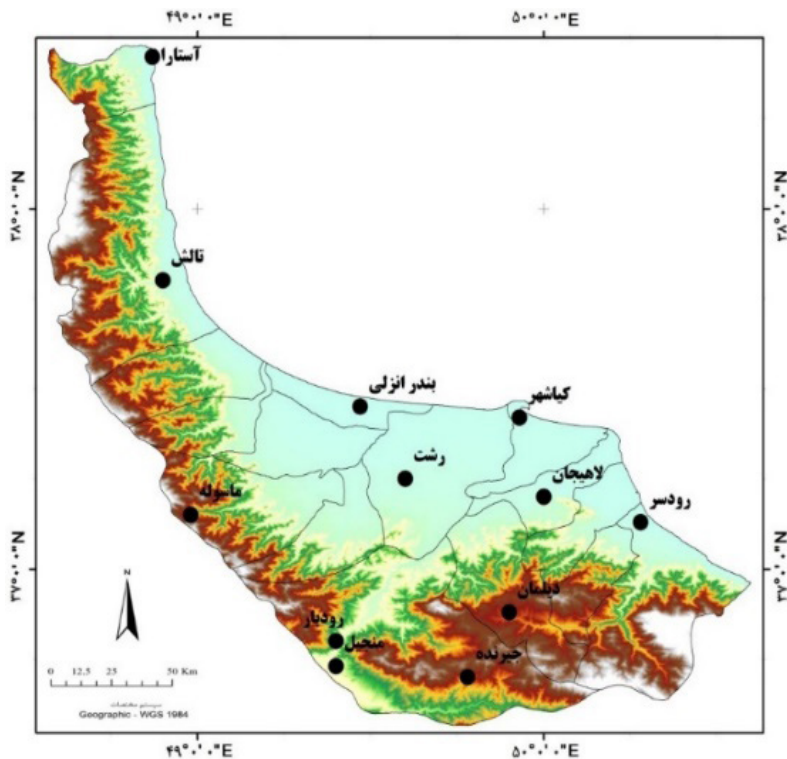
پرداختند و آثار زمین لغزش شهری را بر روند الگوی توسعه شهر رودبار بیان داشتند و نتایج آن‌ها با توجه به ترسیم نقشه نهایی زمین لغزش نشان دهنده سه محدوده به ترتیب درجات کم خطر (۴ درصد)، خطر متوسط (۷۱درصد) و خطر بالا (۲۵درصد) است که نشان دهنده فرایندهای مخاطره‌زا در محدوده شهری است. توسط حبیبی و غریب (۱۳۹۴) ارزیابی پتانسیل مخاطرات سیل در حوضه رودخانه شور گناوه با مدل تاپسیس و ای.چ.بی با هدف شناسایی سکونتگاه‌های در معرض خطر سیلاب صورت گرفت و نتایج به دست آمده با مشاهدات میدانی و استنادی نشان می‌دهد که تعداد ۳۰ سکونتگاه واقع در بخش شمالی و پایین دست حوضه رودخانه به لحاظ قرار گیری در چاله تکتونیکی و شکست شیب در سطح «بسیار پرخطر» و «پرخطر» قرار گرفته‌اند. شاخص ci برای این مناطق این مناطق نشان از خطرات فرآگیر سیلاب در این حوضه است و این تحقیق نشان می‌دهد که مدل تاپسیس قابلیت خوبی جهت تعیین حریم رودخانه دارد. بررسی پیشینه فوق نشان می‌دهد که مخاطرات زئومورفیک به صورت جداگانه بررسی و پنهانه‌بندی شده‌اند. بنابراین هدف از این مقاله تحلیل و پنهانه‌بندی مخاطرات زئومورفیک استان گیلان با مدل فرایند تحلیل شبکه‌ای می‌باشد. نظر به تأثیرات سوئی که مخاطرات زئومورفیک بر روی سیستم‌های اجتماعی - اقتصادی و طبیعی (از جمله روستاهای و مسکن، راه‌ها و خطوط انتقال آب، نیرو و انرژی، تأسیسات و تجهیزات، فرسایش خاک و تخریب جنگل‌ها و مراتع) دارد، لزوم شناخت نواحی مستعد مخاطرات زئومورفیک برای اجتناب از خطر، جلوگیری از بروز خسارات مالی، جانی و زیست‌محیطی مشخص می‌شود. شناخت نواحی مستعد وقوع مخاطرات زئومورفیک می‌تواند مبنایی برای استفاده در سایر برنامه‌ریزی‌های توسعه‌ای و عمرانی ناحیه‌ای، محلی، مدیریت و برنامه‌ریزی منابع طبیعی و محیط زیست، برنامه‌ریزی‌های توریستی و برنامه‌ریزی‌های توسعه فضایی و کالبدی باشد.

با استفاده از تئوری بیزین در بخشی از استان گلستان پرداخت و نتایج مدل نشان دادکه دقت مدل احتمالاتی تهیه شده با رویکرد دوم مدل‌سازی (حذف عامل جهت شیب از تحلیل‌ها) در منطقه مورد مطالعه ۷۱/۳۷ (خوب) برآورد شده است.

نوروزی خطیری و همکاران (۱۳۹۲) به تحلیل و بررسی ریسک مخاطرات چندگانه (سیل و زلزله) ساختمان‌های منطقه ۲۰ شهر تهران پرداختند و با توجه به عمر مفید ۵۰ ساله، داده‌ها و احتمال خرابی سازه‌ها در سطوح مختلف بر اساس این مخاطرات ارزیابی شدند. با در نظر گرفتن روش‌های احتمالی تعیین ریسک مخاطرات چندگانه میزان ریسک خرابی در نرم‌افزار GIS تعیین گردید و نتایج به دست آمده نشان داد ساختمان‌های آسیب دیده بنایی، فولادی و بتونی به ترتیب ۱/۲۶، ۱/۲۵ و ۱/۵ برابر افزایش می‌یابد. اکبری و همکاران (۱۳۹۲) در پژوهش خود با هدف ارزیابی خطر زمین لغزش به کمک مدل فازی دانش مبانی و روش ترکیبی فازی - اوزان شاهد در منطقه مسکون جیرفت با دو روش فازی و هیبرید فازی اوزان شاهد، استفاده و به این نتیجه رسیدند روش هیبریدی با احتیاط بیشتر و با توجه به نقاط شاهد، مناطق مستعد لغزش را معرفی می‌کند در نتیجه مناطق معرفی شده نسبت به روش فازی مساحت کمتری اشغال می‌کند.

سوری و همکاران (۱۳۹۲) در پژوهشی تحت عنوان پنهانه‌بندی خطر زمین لغزش با استفاده از روش فرایند تحلیل سلسله‌مراتبی، حوضه کسمت با استفاده از عکس‌های هوایی و بازدیدهای میدانی، نقاط مستعد لغزش شناسایی و نقشه پراکنش زمین لغزش تهیه گردید و با قطع نقشه‌های عوامل مؤثر بر لغزش با نقشه پراکنش زمین لغزش‌ها، تأثیر هر یک از عوامل شیب، جهت شیب، ارتفاع، زمین شناسی، جاده و آبراهه بر ناپایداری شیب‌ها در محیط نرم‌افزار جی آی اس با استفاده از روش تحلیل سلسله‌مراتبی تعیین گردید.

مقیمی و همکاران (۱۳۹۲) به ارزیابی و پنهانه‌بندی خطر زمین لغزش در شهر رودبار با استفاده از مدل تحلیل شبکه



نگاره ۱: نقشه موقعیت منطقه مورد مطالعه
 (منبع Dem ایران)

و هیمالیا و تحت فشارهای درونی زمین است و گسل‌های متعددی در منطقه وجود دارد. فعالیت این گسل‌ها سبب شکسته‌شدن و ایجاد زمین لرزه‌ها، حرکات دامنه‌ای (لغزش و ریزش کوه) و ظهور چشم‌های متعدد و... شده است. از مهمترین گسل‌های گیلان می‌توان به گسل آستارا، سفیدرود-لاهیجان، گسل میانی البرز غربی و تالش جنوبی اشاره نمود. شکل‌گیری اسکلت ناهمواری‌ها مربوط به حرکات کوهزایی اواخر دوران دوم زمین‌شناسی است که در شکل‌گیری نهایی آنها و کوهزایی آلپی دوره ترشیاری از دوران سوم زمین‌شناسی تأثیر داشته است. در دوران چهارم، عوامل فرسایشی مهمترین تأثیر را در تغییر فرم زمین در این ناحیه داشته‌اند.

در این استان دو مورفولوژی متفاوت حاکم است. در بخش جنوبی استان ارتفاعات بلند و خشن البرز شمالی است در حالی که کوهپایه‌ها و دشت ساحلی خزر مورفولوژی تپه‌ماهوری و دشت گونه دارند که با پادگانه‌های دریایی و یا نهشته‌های آبرفتی جوان زمان حال پوشیده شده‌اند و در تقسیمات ساختمانی ایران در بخش البرز قرار می‌گیرد.

موقعیت منطقه مورد مطالعه

استان گیلان یکی از استان‌های ساحلی شمال ایران به مرکزیت کلان شهر رشت می‌باشد. این استان بین دامنه‌های شمالی رشته‌کوه البرز و سواحل جنوبی دریای خزر واقع شده است. موقعیت جغرافیایی استان، بر روی آب و هوا، پوشش گیاهی، فعالیت‌های انسانی، راه‌های ارتباطی و... تأثیرگذار است. استان گیلان با مساحت ۱۴۰۴۲ کیلومترمربع در شمال کشور و در نوار کوهستانی شمال ایران در کرانه جنوب‌غربی دریای خزر، دامنه‌های شمالی البرز غربی و دامنه‌های شرقی تالش در محدوده جغرافیایی عرض شمالی ۳۶ درجه و ۳۴ دقیقه تا ۳۸ درجه و ۲۷ دقیقه و طول شرقی ۴۸ درجه و ۵۳ دقیقه تا ۵۰ درجه و ۳۴ دقیقه واقع شده است. پست‌ترین نقطه استان با ارتفاع ۲۷ متر در سواحل دریای خزر و بلندترین نقطه در ارتفاع ۳۶۸۷ متر از سطح دریا واقع شده است.

بدین ترتیب اختلاف ارتفاع بین پست‌ترین و بلندترین نقطه ۳۷۱۴ متر می‌باشد (نگاره ۱).

منطقه مورد مطالعه در قلمرو چین خوردگی‌های آلپ

فصلنامه علمی - پژوهشی اطلاعات جغرافیایی (جغر)

تحلیل و پنهانه‌بندی مخاطرات ژئومورفیک ... / ۱۹۷

شبکه‌ای را پایه‌ریزی و ارائه نموده است (Lee و Kim^۶, ۲۰۰۱؛ ۳۷۴: ۲۰۰۱) بدین ترتیب روش ANP به عنوان تعمیمی از AHP ارائه گردید. همان طور که AHP بستری را برای ساختارهای سلسله مراتبی با روابط یک سویه فراهم می‌کند، ANP نیز امکان روابط پیچیده داخلی بین سطوح مختلف تصمیم و معیارها را مهیا می‌سازد. رویکرد بازخوردی^۷ ANP ساختار شبکه‌ای را با ساختار سلسله مراتبی جایگزین کرده و حاکمی از آن است که روابط بین سطوح مختلف تصمیم‌گیری رانمی‌توان به سادگی بالا-پایین، غالب-مغلوب یا مستقیم-غیر مستقیم تصور کرد. به طور کلی، مدل ANP از سلسله مراتب کترل، خوش‌های، عناصر، روابط متقابل بین خوش‌های و عناصر تشکیل می‌شود (Sarkis^۸, ۲۰۰۲؛ ۲۳: ۲۰۰۲؛ ارتی و همکاران^۹, ۲۰۰۶؛ ۲۴۷). برای ارزیابی و پنهانه‌بندی مخاطرات ژئومورفیک استان گیلان در ۶ مرحله صورت گرفت. (ساعتی، ۱۳۹۲)

۱- گام اول: در ابتدا با توجه به مطالعات میدانی و کتابخانه‌ای و همچنین کارشناسان امر عناصر مرتبط با تحقیق از چهار خوش‌های با ۱۱ عنصر تعریف شد. با استفاده از تحلیل همبستگی روابط بین متغیرها و خوش‌های مشخص شد. این عناصر علاوه بر آن که در داخل خوش‌های به هم مرتبط می‌باشند، در بین خوش‌های نیز وابستگی دارند (جدول ۱).

جدول ۱: معیارهای مؤثر در وقوع مخاطرات ژئومورفیک

منطقه مورد مطالعه

پوشش گیاهی، زمین شناسی، کاربری زمین، توپوگرافی	فرساش
گسل، لرزه خیزی	زمین لرزه
شبکه آبراهه‌ها، لرزه خیزی	سیلاب
جهت شیب، شیب، نقاط لغزش	حرکات دامنه‌ای

۲- گام دوم، ماتریس مقایسات زوجی و برآورده وزن نسبی: تعیین وزن نسبی در ANP شبیه به AHP است به عبارتی از طریق مقایسه زوجی می‌توان وزن نسبی معیارها و زیر معیارها را مشخص کرد. مقایسه‌های زوجی عناصر در هر سطح با توجه به اهمیت نسبی آن نسبت به معیار کترل،

روش و فرآیند پژوهش

روش انجام این تحقیق به صورت توصیفی - تحلیلی است که با استفاده از مطالعات اسنادی اطلاعات و داده‌های مورد نیاز گردآوری شده است. در این مطالعه سعی شده است تا مخاطرات ژئومورفیک استان گیلان مورد بررسی قرار گیرد. در ابتدا محدوده مورد مطالعه مشخص گردید. در مرحله بعد لایه‌های اطلاعاتی از قبیل شیب، توپوگرافی، پوشش گیاهی، نقشه ارتفاعی کاربری اراضی و... با استفاده از نقشه‌های توپوگرافی ۱/۵۰۰۰۰، نقشه‌های زمین شناسی ۱/۱۰۰۰۰۰ و ۱/۲۵۰۰۰۰، مدل ارتفاعی رقومی ایران (DEM)^{۱۰} تهیه گردید و در نهایت لایه‌های اطلاعاتی تهیه شده مؤثر با نظر کارشناسان و بررسی‌های میدانی و اسنادی به دست آمدند و در قالب مدل تحلیل شبکه مورد بررسی قرار گرفتند.

فرآیند تحلیل شبکه یا (ANP)^{۱۱} یکی از تکنیک‌های تصمیم‌گیری است. وقتی که چندین شاخص برای ارزیابی در نظر گرفته شود کار ارزیابی پیچیده می‌شود و زمانی که معیارها از جنس‌های مختلف باشند، کار پیچیده‌تر خواهد شد و ارزیابی و مقایسه از حالت تحلیلی که ذهن قادر به انجام آن است خارج شده و به یک ابزار تحلیل عملی قوی نیازمند می‌باشد. بنابراین فرآیند تحلیل شبکه‌ای قادر به انجام این کار است. (شادفر و همکاران، ۱۳۹۶: ۶۶).

فرآیند تحلیل شبکه یکی از تکنیک‌های تصمیم‌گیری چند معیاره است. این مدل بر مبنای فرآیند تحلیل سلسله مراتبی طراحی شده است و شبکه را جایگزین سلسله مراتب می‌کند. فرض اصلی در AHP بر روی عملکرد مستقل گروه‌های بالایی سلسله مراتبی از همه قسمت‌های پایینی آن و از معیارهای هر سطح و طبقه بنا نهاده شده است (چانگ^{۱۲} و همکاران، ۲۰۰۵: ۲۲ و دی سون^{۱۳}, ۲۰۰۴: ۶۳۶). ساعتی استفاده از مدل تحلیل سلسله مراتبی (AHP) را برای حل مسائل با معیارها و راه حل‌های مستقل و وابسته پیشنهاد و مدل تحلیل

^۱-Digital Elevation Model

^۲- Analytical Network Process

^۳- Chung.et

^۴- Dyson

^۵- Saaty

^۶- Lee & Kim

^۷- Feedback

^۸- Sarkis

^۹- Ertay and et al.

توجه به هر معیار، مقایسه زوجی در دو مرحله انجام می‌شود که نتایج حاصل از مقایسه‌ها در سوپرماتریس وارد خواهد شد.

۳- گام سوم، تشکیل سوپرماتریس اولیه: عناصر ANP با یکدیگر در تعامل قرار دارند. این عناصر می‌توانند واحد تصمیم گیرنده، معیارها، زیر معیارها، نتایج حاصل، گزینه‌ها و هر چیز دیگری باشند. وزن نسبی هر ماتریس براساس مقایسه زوجی شبیه روش AHP محاسبه می‌شود، وزن‌های حاصل در سوپرماتریس وارد می‌شوند که رابطه متقابل بین عناصر سیستم را نشان می‌دهند. قالب عمومی سوپرماتریس در نگاره (۲) نشان داده شده است. در این تصویر CN نشان دهنده خوش N آم، عنصر a_{ij} در خوش Nⁱ، w_{ij} ماتریس بلوك شامل وزن‌های نسبی بردارهای w تأثیر عناصر در خوش N آم نسبت به خوش Z آم است. اگر خوش N آم هیچ تأثیری بر خوش i آم خودش نداشته باشد (حالت وابستگی داخلی)، w_{ij} صفر می‌شود. سوپرماتریس به دست آمده در این مرحله سوپرماتریس اولیه معرفی می‌شود.

۴- گام چهارم، تشکیل سوپرماتریس وزنی: ستون‌های سوپرماتریس از چند بردار ویژه تشکیل می‌شود که جمع هر کدام از بردارها برابر یک است. بنابراین، این امکان وجود دارد که جمع هر ستون سوپرماتریس اولیه بیش از یک باشد. برای آن که از عناصر ستون متناسب با وزن نسبی فاکتور گرفته شود و جمع ستون برابر یک شود، هر ستون ماتریس، استاندارد می‌شود. در نتیجه ماتریس جدیدی به دست می‌آید که جمع هر یک از ستون‌های آن برابر یک خواهد بود. به ماتریس جدید، ماتریس وزنی گفته می‌شود (فرجی سبکبار و همکاران، ۵۶: ۱۳۹۰).

۵- گام پنجم، محاسبه بردار وزنی عمومی: در مرحله بعد، سوپرماتریس وزنی، به توان حدی رسیده تا عناصر ماتریس همگرا شود و مقادیر سطری آن با هم برابر شوند. براساس ماتریس به دست آمده بردار وزن عمومی مشخص می‌شود.

$$\lim_{k \rightarrow \infty} w^k$$

ماتریسی که در نتیجه به توان رسیدن ماتریس وزنی به دست می‌آید، ماتریسی حدی است که مقادیر هر سطر آن با هم برابر می‌باشد. اگر سوپرماتریس اثر زنجیره‌واری داشته

شبیه روش AHP انجام می‌شود. ستی برای مقایسه زوجی دو مؤلفه یک مقیاس نه تایی را معرفی نموده است. مقدار a_{ij} در ماتریس مقایسه زوجی اهمیت نسبی مؤلفه در سطر i با توجه به ستون را نشان می‌دهد؛ به عبارتی $\frac{w_i}{w_j}$ را مشخص می‌کند. به طوری که عدد ۱ مشخص کننده اهمیت مساوی بین دو عنصر و عدد ۹ مشخص کننده بیشترین اهمیت ممکن یک عنصر نسبت به عنصر دیگر است. از ارزش معکوس $(\frac{1}{a_{ij}})$ زمانی استفاده می‌شود که زمهتر از مؤلفه i باشد. اگر n مؤلفه وجود داشته باشد، در این صورت n مؤلفه با هم مقایسه خواهد شد نگاره (۲).

$$W = \begin{bmatrix} c_1 & c_k & c_n \\ e_{11} & e_{12} & \dots & e_{1m1} & \dots & e_{k1} & e_{k2} & \dots & e_{kmk} & e_{n1} & e_{n2} & \dots & e_{nmn} \\ \vdots & \vdots & & \vdots & & \vdots & \vdots & & \vdots & & \vdots & & & \vdots \\ e_{1m1} & e_{k1} & e_{n1} \\ e_{12} & e_{k2} & e_{n2} \\ \vdots & \vdots & \vdots \\ e_{k1} & e_{k2} & e_{nk} \\ \vdots & \vdots & \vdots \\ e_{kmk} & e_{knk} & e_{nn} \\ \vdots & \vdots & \vdots \\ e_{n1} & e_{n2} & e_{nn} \end{bmatrix} \begin{bmatrix} w_{11} & \dots & w_{1k} & \dots & w_{1n} \\ \vdots & \vdots & \vdots & \vdots & \vdots \\ w_{k1} & \dots & w_{kk} & \dots & w_{kn} \\ \vdots & \vdots & \vdots & \vdots & \vdots \\ w_{n1} & \dots & w_{nk} & \dots & w_{nn} \end{bmatrix}$$

نگاره (۲): فرم استاندارد یک سوپرماتریس A

در روش AHP مقایسه‌های وزنی برای مؤلفه‌های i و j به جای اختصاص وزن w_i و w_j از وزن نسبی، $\frac{w_i}{w_j}$ استفاده می‌شود. بعد از آن که مقایسه زوجی به صورت کامل انجام شد، بردار وزن (w) محاسبه می‌شود که ستی روش زیر را پیشنهاد نموده است:

$$A \times W = \lambda_{max} \times W$$

که در آن λ_{max} بزرگترین مقدار ویژه ماتریس A است. بردار W با استفاده از $\sum_{i=1}^n w_i \alpha_i = n$ نرمال می‌شود. نتیجه آن W واحد است، به عبارتی جمع هر ستون در ماتریس برابر یک می‌شود. برای تعیین میزان سازگاری مقایسه‌ها از شاخص سازگاری وزن معیارها استفاده می‌شود که این شاخص با استفاده از رابطه زیر محاسبه می‌شود:

$$CI = \frac{\lambda_{max} - n}{n - 1}$$

در کل اگر CI کمتر از ۱ باشد مقایسه تأیید می‌شود. با

فصلنامه علمی - پژوهشی اطلاعات جغرافیایی (جغر)
تحلیل و پنهانه‌بندی مخاطرات زئومورفیک ... / ۱۹۹

استفاده از تکنیک منطق فازی به ترسیم نقشه‌های پنهانه‌بندی مخاطرات زئومورفیک استان گیلان مبادرت گردید.

در نهایت برای به دست آوردن ضریب نهایی هر عنصر، باید ضرایب به دست آمده از جدول سوپر ماتریس حدی را در ضریب خوشها ضرب کرد تا ضریب نهایی هر عنصر به دست آید. همان طور که جدول (۵) نشان می‌دهد عناصری که مخاطره زا می‌باشند را می‌توان کاربری اراضی، پوشش گیاهی، لرزه خیزی و به مراتب دیگر بارش، گسل و زمین‌شناسی دانست که بیشترین نقش را در مخاطرات فرسایش و سیلاب بر عهده دارند.

پس از به دست آوردن ضرایب نهایی هم ارزش شده هر عنصر با مدل NAP، این ضرائب باید بر لایه اطلاعاتی هر عنصر اعمال شده و نقشه نهایی در نرم افزار جی.آی. اس ترسیم شود.

خصوصیات لایه‌ها در جدول (۶) ارائه شده است. با توجه به هدف پژوهش حاضر که پنهانه‌بندی مخاطرات زئومورفیک بوده است، لایه‌های رقومی هر یک از پارامترهای شبیب، جهت شبیب، همبارش، زمین لغزش و... استخراج گردید و سپس نقشه‌های ترسیم شده در قالب نقشه‌های ۳ تا ۱۳ نمایش داده شده است.

جدول ۲: سوپر ماتریس غیروزنی عناصر منطقه مورد مطالعه در وقوع مخاطرات زئومورفیک

فرسایش		سیلاب		حرکات دامنه‌ای		زمین لرزه		عنصر	خواه			
نمایش	نمایش	نمایش	نمایش	نمایش	نمایش	نمایش	نمایش					
۰/۳	۰/۵	۰/۴	۰/۷۵	۰/۶۴	۰/۳۹	۰/۱۵	۰/۱	۰/۳	۰/۶	۰	گسل	زمین لرزه
۰/۵۷	۰/۴	۰	۰/۲۳	۰/۶۱	۰/۷	۰/۶	۰/۱	۰/۱	۰	۰/۳	لرزه خیزی	
۰/۲۲	۰/۲	۰/۶	۰/۳۱	۰/۴۲	۰	۰/۴۵	۰/۳	۰	۰/۴	۰/۲	شبیب	
۰/۴۹	۰	۰/۱	۰/۱۱	۰/۴۰	۰/۲	۰/۱	۰	۰/۲	۰/۳	۰	جهت شبیب	
۰/۲۱	۰/۵	۰	۰/۲	۰/۴	۰/۳۸	۰	۰/۲	۰/۱	۰/۳	۰/۱	نقاط لغزش	حرکات دامنه‌ای
۰	۰	۰/۱	۰	۰/۱۲	۰	۰/۲۶	۰/۸	۰	۰/۱	۰/۱	بارش	
۰/۴	۰/۶	۰/۳	۰/۳۵	۰	۰/۰۱	۰/۰۴	۰/۴	۰/۳	۰/۹	۰	آبراهه	
۰	۰	۰/۲	۰	۰/۵۹	۰/۴۹	۰/۳۴	۰	۰/۵	۰	۰/۸	پوشش گیاهی	فرسایش
۰/۰۱	۰/۱	۰	۰/۳۶	۰/۱۴	۰/۱۰	۰/۴۰	۰/۳	۰/۳	۰/۳	۰	توبوگرافی	
۰	۰	۰/۱	۰	۰/۰۲	۰/۱۱	۰/۴۰	۰/۲	۰/۱	۰/۷	۰/۳	کاربری زمین	
۰	۰/۲	۰/۲	۰/۴۹	۰/۳۴	۰	۰	۰/۶	۰/۵	۰/۸	۰/۳	زمین‌شناسی	

باشد، ممکن است دو یا چند سوپر ماتریس داشته باشیم و به صورت زیر سوپر ماتریس وزنی همگرا می‌شود.

$$\lim_{k \rightarrow \infty} \left(\frac{1}{N} \right) \sum w_i^k$$

۶- گام ششم، محاسبه وزن نهایی معیارها: در نهایت وزن هر یک از معیارهای مؤثر به دست می‌آید. پس از تعیین ساختار مدل و تعیین سوپر ماتریس‌های وزنی و حد، وزن هریک از شاخص‌های مؤثر به دست می‌آید. پس از وزن دهی به معیارهای طبیعی مؤثر در پنهانه‌بندی شاخص‌های مؤثر، در این مرحله با استفاده از تکنیک منطق فازی به ترسیم نقشه‌های پنهانه‌بندی مخاطرات زئومورفیک استان گیلان مبادرت می‌شود.

یافته‌های تحقیق

ارزیابی و پنهانه‌بندی مخاطرات زئومورفیک در استان گیلان

پس از تعیین روابط بین معیارهای مؤثر در خطر مخاطرات زئومورفیک، نظرکارشناسان، ماتریس مقایسه‌ای زوجی و برآورد وزن نسبی، تشکیل سوپر ماتریس اولیه، تشکیل سوپر ماتریس وزنی، محاسبه بردار وزنی عمومی، محاسبه وزن نهایی معیارها با استفاده از عملیات ریاضی در نرم افزار آرک.جی.آی.اس صورت گرفت و سپس با

فصلنامه علمی - پژوهشی اطلاعات جغرافیایی (سپر) دوره ۲۷، شماره ۱۰۷، پاییز ۹۷

Scientific - Research Quarterly of Geographical Data (SEPEHR) Vo.27, No.107, Autumn 2018 / ۲۰۰

جدول ۳: سوپر ماتریس وزنی منطقه مورد مطالعه در وقوع مخاطرات ژئومورفیک

فرسایش				سیلاب		حرکات دامنه‌ای				زمین لرزه		عنصر	خوبه
زمین‌شناسی	کاربری زمین	گستاخ	تغییرات	آب	دود	تفاوت	ترکیب	گرد	باز	گزینه	لرزه		
۰/۱۳	۰/۵	۰/۲	۰/۱۵	۰/۱۴	۰/۱۹	۰/۱۵	۰/۱	۰/۲	۰/۱	۰	گسل	زمین لرزه	حرکات دامنه‌ای
۰/۳۵	۰/۲	۰	۰/۱۶	۰/۳۱	۰/۲۰	۰/۱۷	۰/۲	۰/۲	۰	۰/۱	لرزه خیزی		
۰/۲۷	۰/۱	۰/۲	۰/۱۱	۰/۲۲	۰	۰/۲۵	۰/۲	۰	۰/۱	۰/۳	شیب		
۰/۱۹	۰	۰/۱	۰/۱۱	۰/۴۰	۰/۲	۰/۱	۰	۰/۲	۰/۳	۰	جهت شیب		
۰/۲۱	۰/۵	۰	۰/۲	۰/۱۹	۰/۰۸	۰	۰/۱	۰/۲	۰/۱	۰/۲	نقاط لغزش		
۰	۰	۰/۳	۰	۰/۰۲	۰	۰/۰۶	۰/۳	۰	۰/۱	۰/۱	بارش		سیلاب
۰/۲	۰/۳	۰/۱	۰/۱۷	۰	۰/۰۲	۰/۰۴	۰/۲	۰/۱	۰/۴	۰	آبراهه		
۰	۰	۰/۱	۰	۰/۲۹	۰/۲۵	۰/۱۷	۰	۰/۲	۰	۰/۴	پوشش گیاهی		
۰/۰۲	۰/۱	۰	۰/۱۸	۰/۰۷	۰/۰۵	۰/۲۰	۰/۱	۰/۱	۰/۱	۰	توپوگرافی	فرسایش	حرکات دامنه‌ای
۰	۰	۰/۱	۰	۰/۰۴	۰/۰۶	۰/۲۰	۰/۱	۰/۱	۰/۳	۰/۱	کاربری زمین		
۰	۰/۱	۰/۱	۰/۲۵	۰/۱۸	۰	۰	۰/۳	۰/۲	۰/۴	۰/۱	زمین شناسی		

جدول ۴: سوپر ماتریس حد منطقه مورد مطالعه در وقوع مخاطرات ژئومورفیک

فرسایش				سیلاب		حرکات دامنه‌ای				زمین لرزه		عنصر	خوبه
زمین‌شناسی	کاربری زمین	گستاخ	تغییرات	آب	دود	تفاوت	ترکیب	گرد	باز	گزینه	لرزه		
۰/۲۰	۰/۲۰	۰/۲۰	۰/۲۰	۰/۲۰	۰/۲۰	۰/۲۰	۰/۲۰	۰/۲۰	۰/۲۰	۰/۲۰	گسل	زمین لرزه	حرکات دامنه‌ای
۰/۱۴	۰/۱۴	۰/۱۴	۰/۱۴	۰/۱۴	۰/۱۴	۰/۱۴	۰/۱۴	۰/۱۴	۰/۱۴	۰/۱۴	لرزه خیزی		
۰/۳۱	۰/۳۱	۰/۳۱	۰/۳۱	۰/۳۱	۰/۳۱	۰/۳۱	۰/۳۱	۰/۳۱	۰/۳۱	۰/۳۱	شیب		
۰/۱۲	۰/۱۲	۰/۱۲	۰/۱۲	۰/۱۲	۰/۱۲	۰/۱۲	۰/۱۲	۰/۱۲	۰/۱۲	۰/۱۲	جهت شیب		
۰/۱۶	۰/۱۶	۰/۱۶	۰/۱۶	۰/۱۶	۰/۱۶	۰/۱۶	۰/۱۶	۰/۱۶	۰/۱۶	۰/۱۶	نقاط لغزش		
۰/۱۸	۰/۱۸	۰/۱۸	۰/۱۸	۰/۱۸	۰/۱۸	۰/۱۸	۰/۱۸	۰/۱۸	۰/۱۸	۰/۱۸	بارش		سیلاب
۰/۳۹	۰/۳۹	۰/۳۹	۰/۳۹	۰/۳۹	۰/۳۹	۰/۳۹	۰/۳۹	۰/۳۹	۰/۳۹	۰/۳۹	آبراهه		
۰/۰۶	۰/۰۶	۰/۰۶	۰/۰۶	۰/۰۶	۰/۰۶	۰/۰۶	۰/۰۶	۰/۰۶	۰/۰۶	۰/۰۶	پوشش گیاهی		
۰/۲۳	۰/۲۳	۰/۲۳	۰/۲۳	۰/۲۳	۰/۲۳	۰/۲۳	۰/۲۳	۰/۲۳	۰/۲۳	۰/۲۳	توپوگرافی		
۰/۱۸	۰/۱۸	۰/۱۸	۰/۱۸	۰/۱۸	۰/۱۸	۰/۱۸	۰/۱۸	۰/۱۸	۰/۱۸	۰/۱۸	کاربری زمین		
۰/۰۸	۰/۰۸	۰/۰۸	۰/۰۸	۰/۰۸	۰/۰۸	۰/۰۸	۰/۰۸	۰/۰۸	۰/۰۸	۰/۰۹	زمین شناسی		

ادامه جدول ۵

۰/۰۵۴	جهت شیب
۰/۱۱۸	کاربری اراضی
۰/۰۸۳	شیب
۰/۰۹۹	زمین شناسی
۰/۱۰۹	بارش
۰/۱۰۱	گسل
۰/۰۶۲	آبراهه

جدول ۵: وزن نهایی شاخص‌های مؤثر در پهنه‌بندی

مخاطرات ژئومورفیک منطقه مورد مطالعه

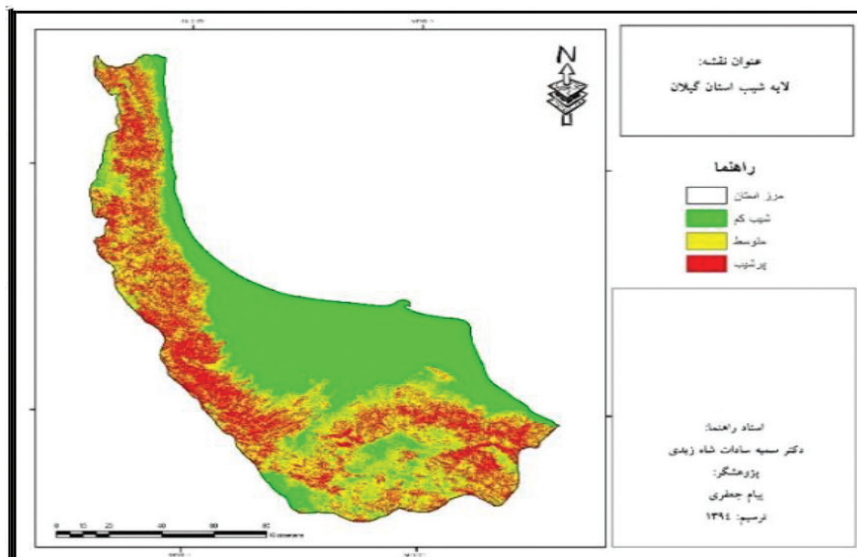
عنصر	وزن نهایی-ANP
توپوگرافی	۰/۰۶۶
نقاط لغزشی	۰/۰۷۷
پوشش گیاهی	۰/۱۱۶
لرزه خیزی	۰/۱۱۴

فصلنامه علمی - پژوهشی اطلاعات جغرافیایی (۲۸)

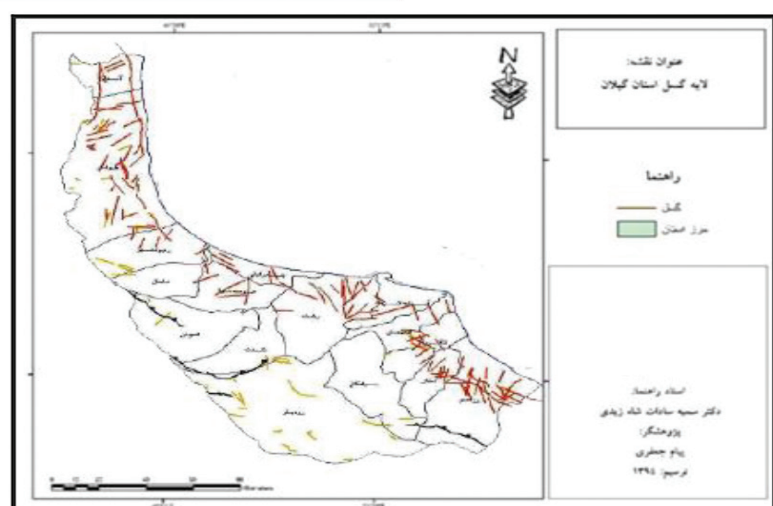
تحلیل و پنهانبندی مخاطرات ژئومورفیک ... / ۲۰۱

جدول ۶: خصوصیت لایه های مؤثر در وقوع مخاطرات ژئومورفیک استان گیلان

لایه	توضیح
میزان شیب	در لایه میزان شیب ۳ طبقه شیب در نظر گرفته شد که میزان شیب کم یعنی کمتر از ۳۰ درصد، ۵۱/۷۹ درصد از منطقه؛ شیب ۶۵-۳۰ درصد از منطقه و بالای ۶۵ درصد از منطقه مورد مطالعه را در بر گرفته است. هرچه میزان شیب بیشتر باشد میزان حرکات دامنه ای و فرسایش بیشتر خواهد بود.
جهت شیب	جهت شیب به ۵ طبقه، مسطح، شمالی، جنوبی، شرقی، غربی تقسیم بندی شده است. دامنه هایی که میزان تبخیر بیشتر باشد و رطوبت کمتری دارند پایدارتر هستند. جهت شیب یکی از عناصری است که میزان خطر حرکات دامنه ای و فرسایش را افزایش می دهد و در طبقات مسطح آب گرفتگی را در این مناطق در پی دارد.
کاربری زمین	کاربری زمین منطقه از چند بخش تشکیل شده است که به ترتیب می توان به دریاچه و خلیج، جنگلهای راش و بلوط و پهن برگ، مراتع کوهستانی، اراضی کشاورزی آبی و دیم، مراتع مرغوب و استپی، دشت های شور، دامنه های بایر و پراکنده و تپه های شنی اشاره کرد. این لایه ها بر حسب نوع ارزش هر کاربری طبقه بندی می شوند. زمین های بایر بیشترین خطر حرکات دامنه ای، فرسایش و سیلاب را دارند و سپس زمین های زراعی و رودخانه ای در طبقات بعدی هستند.
لیتوژوژی	از خصوصیات منطقه تنوع سنگ ها و سازندهای آن است که انواع سنگ های رسوبی دگرگونی و آتشفسانی در آن یافت می شود. شیست و گایس با سنگ های اوپرایزیک پر کامبرین زیرین، مجتمعه دگرگونی پالنزوئیک، سنگ آهک به همراه آذرین و ماسه سنگ کربونیفر زیرین تا پرمین بالایی، کوارتیت مزوژوئیک، سنگ های آتشفسانی و توفهای آندزیتی اوسن و الیگو سن و نهشته های آبرفتی- دریایی- دلتایی- ساحلی کواترنر است. با توجه به تنوع ترکیب واحد های زمین شناسی و حساسیت متفاوت نسبت به حرکات دامنه ای و فرسایش عامل لیتوژوژی بسیار تأثیرگذار است. بارش های زیاد، شیب زیاد، محدوده با پوشش درختان پهن برگ و در برخی از اراضی کشاورزی، مراتع، فرسایش و حرکات دامنه ای به چشم می خورد.
گسل و فاصله از آن	این منطقه در بخشی از پهنه وسیع سلسه جبال البرز قرار گرفته است گسل ها در استان گیلان در قسمت غربی دارای روند شمالی جنوبی، در قسمت شرقی با روند شمال شرق-جنوب غرب و در قسمت مرکزی با جهت شرقی- غربی است. گسل ها در منطقه باعث ناپایداری و گستینگی دامنه ها شده و فرسایش و حرکات دامنه ای را افزایش می دهد. مناطق نزدیک به گسل می تواند آسیب پذیری بیشتری داشته باشد.
آبراهه ها	تراکم زیاد آبراهه ها در منطقه نشان می دهد که مناطق کوهستانی دارای دامنه های ناپایدار و نامتعادلی هستند و این امر موجب تشدید حرکات دامنه ای و فرسایش خواهد شد.
میانگین بارش سالانه	این منطقه دارای شرایط اقلیمی متفاوت و نوسان بارش قبل توجهی است. افزایش بارش موجب رانش تپه ها، حرکت سنگ های معلق و تخریب مناطق کشاورزی و خطر آبگرفتگی و سیل می شود که خسارات جبرات ناپذیری را به دنبال دارد. نزولات جوی بیشتر از میزان متعارف (سال ۱۳۷۲) در چند منطقه استان در شهرستان های رودسر، لنگرود، صومعه سرا، آستانه و لاهیجان از جمله مناطقی بودند که متحمل خسارات سنگین شدند.
لرزه خیزی	لرزه خیزی در تمام محدوده مورد مطالعه با اهمیت است و در مناطقی که سطح آب زیر زمینی بالاست پدیده روان گرایی خاک صورت می گیرد. این عامل در اثر اشیاع خاک از رطوبت است و در اثر تنش شدیدی که به آن وارد می شود مقاومت و سختی خود را به طور کامل ازدست داده و مانند یک مایع رفتار می کند و در مناطق مستعد برای ساختمان های بلند مشکل آفرین است و خسارات زیادی بر سازه ها، تأسیسات حیاتی، زمین های کشاورزی و... وارد می کند که در زلزله روبار و آستانه و بخش های تابعه این شهر و شهرهای اطراف خسارات زیادی را به بار آورد.
لغزش	بارش، شیب، لرزه خیزی، لیتوژوژی، توپوگرافی از عواملی هستند که در تشدید ناپایداری دامنه ها چون لغزش، ریزش، روانگرایی، سولیفلکسیون، خزش تأثیرگذار هستند. ترکیب مجموعه ای از عوامل طبیعی با برخی دخالت های انسانی موجب بروز این پدیده در مناطق حساس استان گردیده است. این پدیده تأثیر زیادی بر روی اراضی زراعی مخصوصاً مزارع چای، موجب مدافون شدن روستاهای (فتلک و فیشم)، فرسایش خاک در حجم وسیع، منطقه گردیده است.
توپوگرافی	عامل توپوگرافی یا تأثیرات شکل و فرم زمین در میزان مخاطرات طبیعی تأثیرگذار است و نشان می دهد مناطق کوهستانی که دارای دامنه های ناپایدار و نامتعادل هستند موجب تشدید حرکات دامنه ای، فرسایش دامنه ها و ایجاد رواناب، فرسایش خاک خواهد شد.

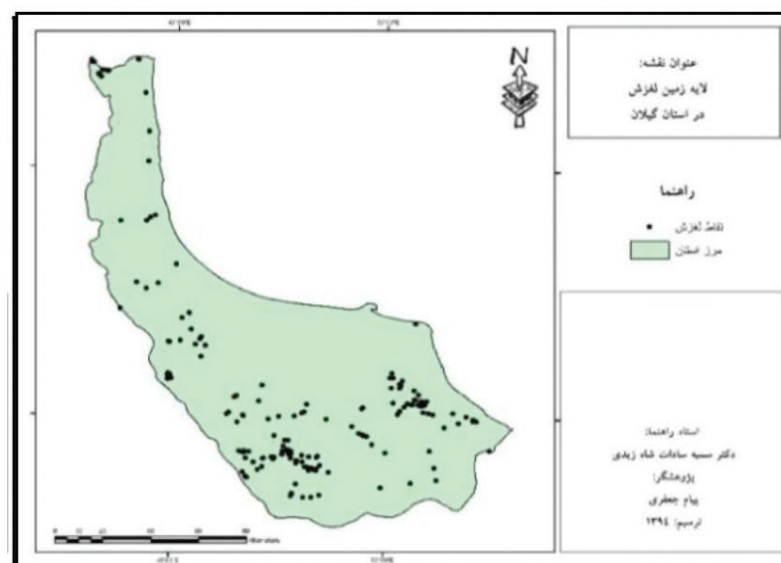


نقشه ۳: گسل



نقشه ۴: شیب

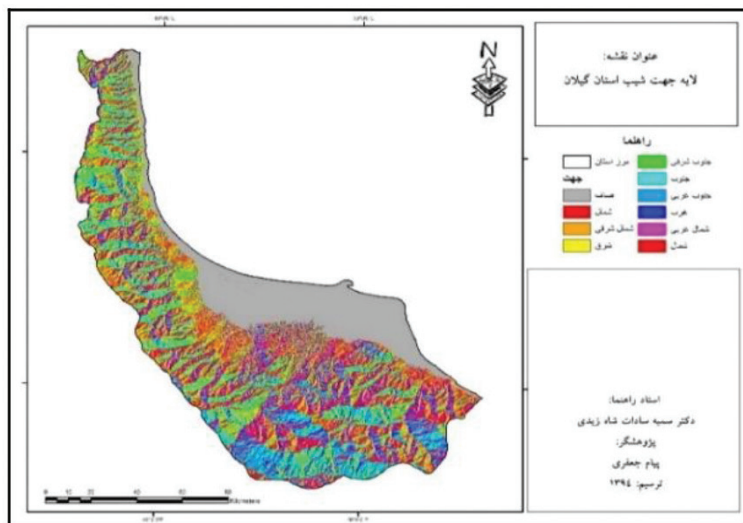
(منبع: Dem / ایران)



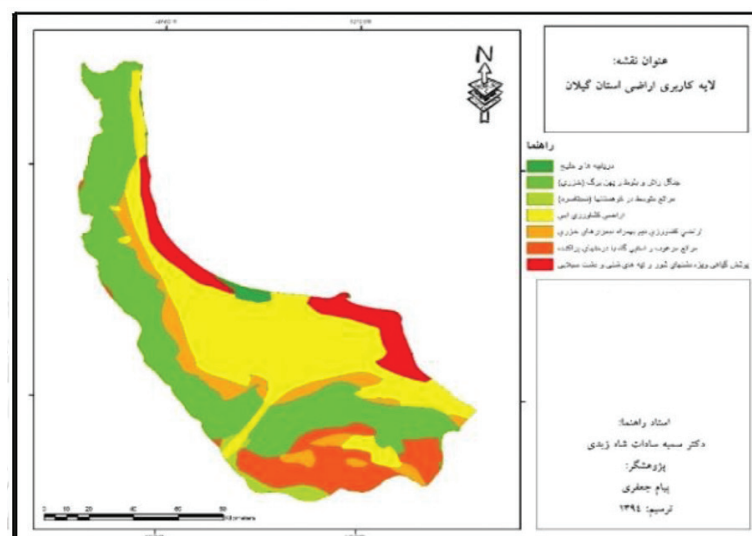
نقشه ۵: جهت شیب

(منبع: Dem / ایران)

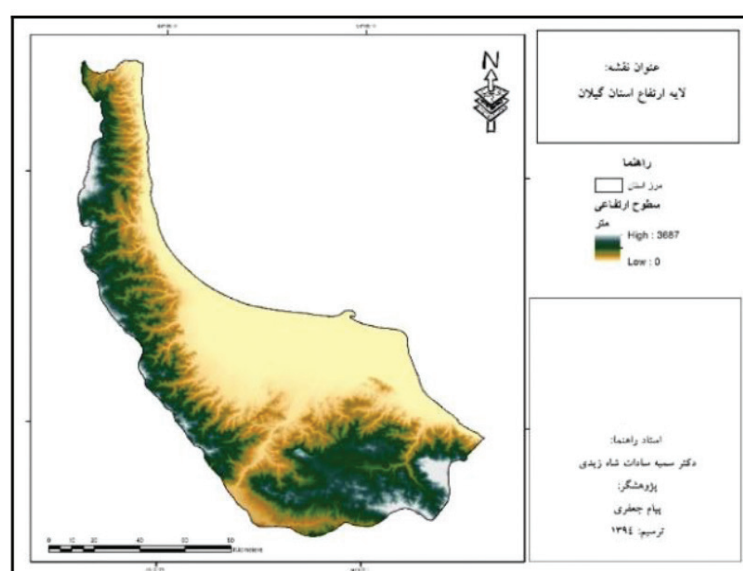
فصلنامه علمی - پژوهشی اطلاعات جغرافیایی (سیر)
تحلیل و پنهانبندی مخاطرات زئومورفیک ... / ۲۰۳



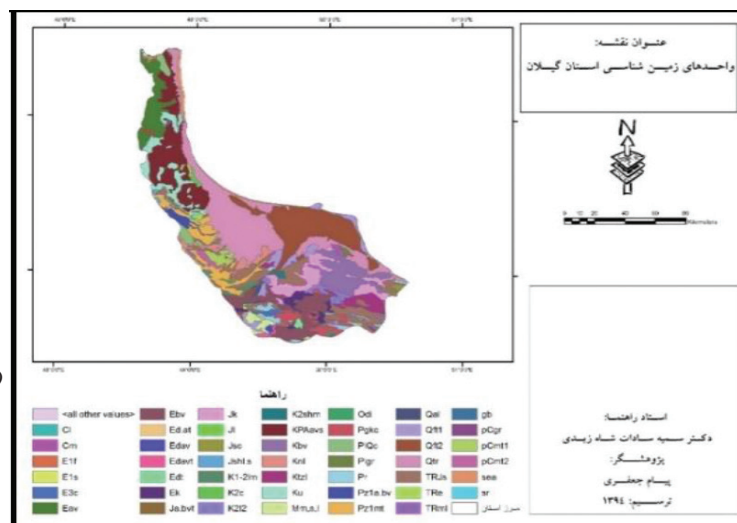
نقشه ۶: زمین لغزش
(برداشت از گوگل ارث و مطالعات میدانی)



نقشه ۷: ارتفاعی
(منبع: ایران Dem)

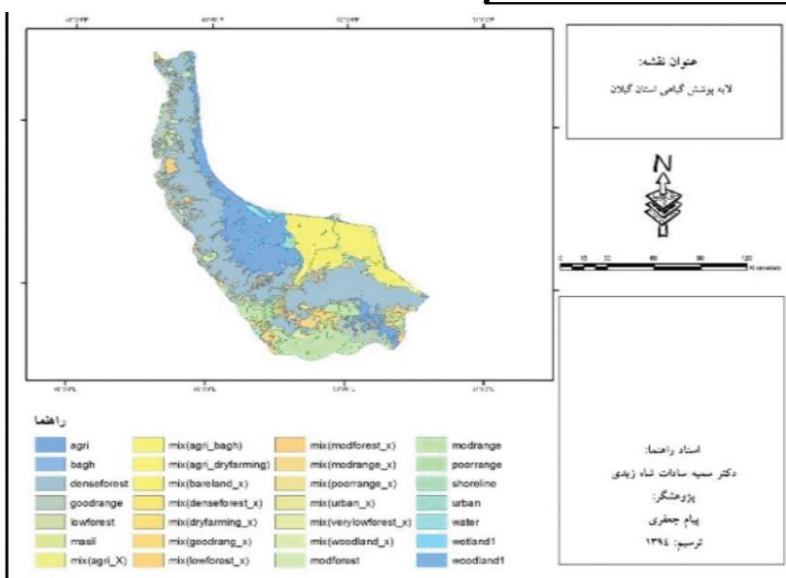


نقشه ۸: کاربری اراضی
(منبع: نقشه‌های توپوگرافی ۱/۵۰۰۰۰، نقشه‌های زمین شناسی ۱/۱۰۰۰۰۰ و ۱/۲۵۰۰۰۰)



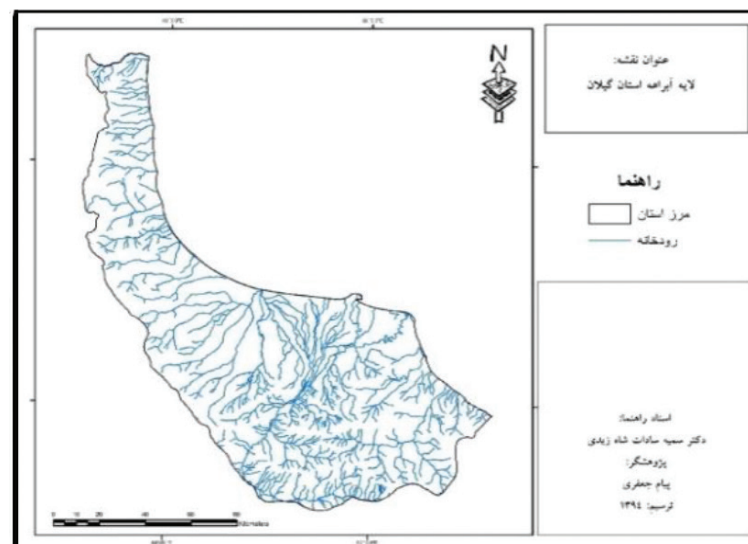
نقشه ۹: زمین شناسی

(منبع: نقشه‌های زمین‌شناسی ۱/۱۰۰۰۰ و ۱/۲۵۰۰۰)



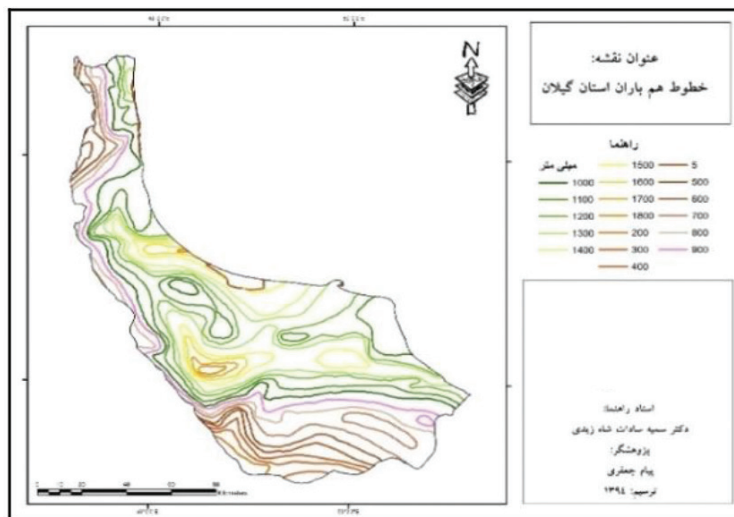
نقشه ۱۰: پوشش گیاهی

(منبع: سازمان جنگل‌ها، مراتع و آبخیزداری کشور)



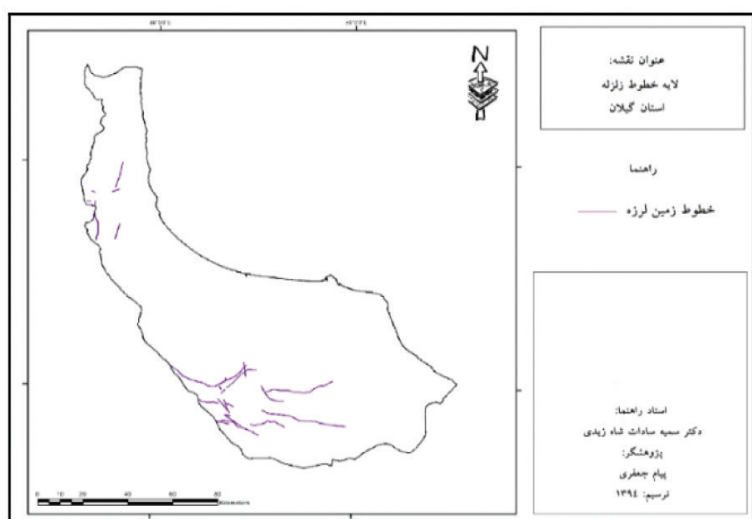
نقشه ۱۱: همپاران

فصلنامه علمی - پژوهشی اطلاعات جغرافیایی (سیر)
تحلیل و پیوندی مخاطرات زئومورفیک ... / ۲۰۵



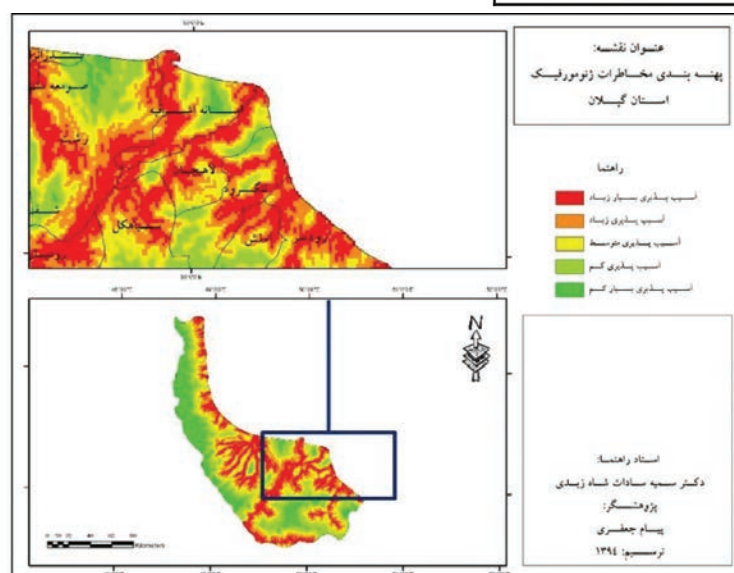
نقشه ۱۲: شبکه آبراهه

(منبع: نقشه توپوگرافی ۱:۵۰۰۰۰)



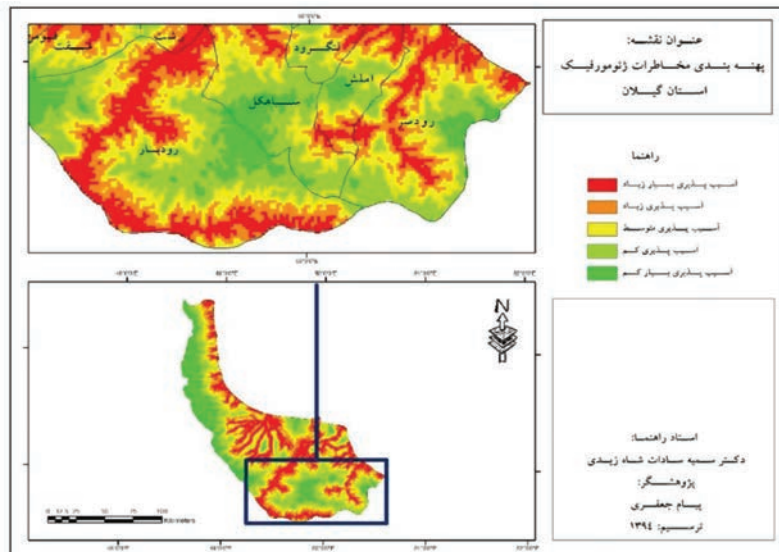
نقشه ۱۳: زلزله

(منبع: سازمان زمین شناسی کشور)

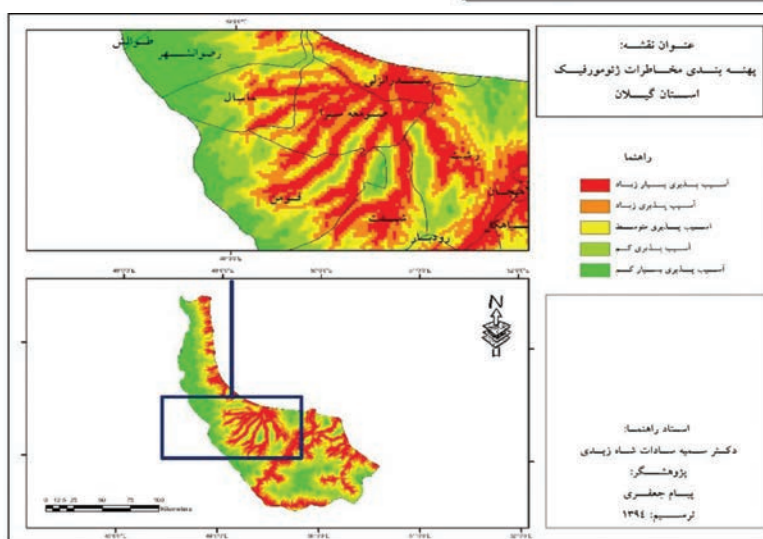


نقشه ۱۴: پهنه‌های پرمخاطره شمال شرقی استان گیلان

نقشه ۱۵: پهنه‌های پر مخاطره جنوب استان گیلان



نقشه ۱۶: پهنه‌های پر مخاطره مرکز استان گیلان



با توجه به ترکیب تمام لایه‌ها و اعمال ضرائب به دست آمده از مدل تحلیل شبکه نقشه نهایی پهنه بندی مخاطرات ژئومورفیک ترسیم شد که سه پهنه آسیب‌پذیر به دست آمد. پهنه اول - شمال شرق استان: این پهنه از استان به دلیل قرارگیری در مسیر سیالاب و ویژگی‌های زمین شناختی پر مخاطره می‌باشد (نقشه ۱۴).

پهنه دوم - جنوب استان: در حوالی شهرستان‌های رودبار و رودسر و تا حدودی املش، جزء پهنه‌های پر مخاطره استان به شمار می‌رود. از ویژگی‌های این پهنه نزدیکی به گسل و شیب نسبتاً بالا می‌باشد (نقشه ۱۵).

پهنه سوم - مرکز استان: در حوالی شهرستان‌های بندرانزلی،

بررسی موقعیت و ارزش محیط‌های انسانی آسیب‌پذیر در برابر انواع مخاطرات ژئومورفولوژیک بسیار مهم و ضروری به نظر می‌رسد.

مخاطرات طبیعی به خصوص مخاطرات ژئومورفیک خسارات جانی و مالی بسیاری را به همراه داشته و دارد. براین اساس مخاطرات طبیعی به عنوان یکی از مطالعات

فصلنامه علمی - پژوهشی اطلاعات جغرافیایی (میر)

تحلیل و پنهانبندی مخاطرات ژئومورفیک ... / ۲۰۷

- شور گناوه با استفاده از مدل تاپسیس، فصلنامه علمی پژوهشی فضای جغرافیایی، سال ۱۵، شماره ۵۲، صص ۷۳-۵۵
- ۳- حجازی، سیدیدالله (۱۳۹۵)، ارزیابی مخاطرات طبیعی ناشی از فرآیندهای دامنه‌ای در سکونتگاه‌های روستای حوضه آبریز ایلگینه چای با استفاده از عملگرهای فازی و GIS، مسکن و محیط روستا، شماره ۱۵۳، صص ۸۳-۹۶.
- ۴- رامشت، شاهزادی؛ محمدحسین، سمیه سادات (۱۳۹۰)، کاربرد ژئومورفولوژی در برنامه‌ریزی، انتشارات دانشگاه اصفهان، صص ۱-۳۹۲.
- ۵- سازمان جغرافیایی نیروهای مسلح، (نقشه توپوگرافی ۱:۵۰۰۰۰).
- ۶- سازمان جنگل‌ها، مراتع و آبخیزداری کشور.
- ۷- سازمان زمین‌شناسی کشور، نقشه‌های زمین‌شناسی ۱:۱۰۰۰۰۰ و ۱:۲۵۰۰۰۰.
- ۸- سازمان نقشه‌برداری کشور، نقشه‌های توپوگرافی ۱/۵۰۰۰۰ و ۱/۲۵۰۰۰ منطقه مورد مطالعه.
- ۹- ساعتی، توماس.ال، (۱۳۹۲)، نظریه و کاربردهای فرایند تحلیل شبکه‌ای: تصمیم‌گیری به کمک سودها، فرستاده، هزینه‌ها و رسکها، ترجمه عزیزی و همکاران، انتشارات دانشگاه تهران، صص ۱-۳۴۰.
- ۱۰- شادرف، یمانی؛ صمد، مجتبی (۱۳۸۶)، پنهانبندی خطرزمن لغزش با استفاده از روش تحلیل سلسله مراتبی (مطالعه موردی: حوضه آبخیز چالکرود تنکابن)، مجله منابع طبیعی، شماره ۷۵، صص ۱۱۸-۱۲۶.
- ۱۱- فرجی‌سبکبار، حسنعلی و همکاران (۱۳۸۹)، سنجش میزان پایداری نواحی روستایی بر مبنای مدل تحلیل شبکه، با استفاده از تکنیک بردا، مطالعه موردی: نواحی روستایی شهرستان فسا، پژوهش‌های جغرافیای انسانی، دوره ۴۲، شماره ۷۲، ۱۳۵-۱۵۵.
- ۱۲- فاطمی عقدا و همکاران، (۱۳۸۴)، بررسی خطر زمین لغزش با استفاده از سیستم فازی در منطقه روستا، مجله علوم دانشگاه تهران، جلد ۳۱، شماره ۱، صص ۶۴-۴۳.

پایه قرار گرفت تا بتوان به کنترل و کاهش مخاطرات طبیعی دست یافت.

بدین ترتیب پرخطرترین پنهانه‌های استان گیلان با مراکز حساس از قبیل معادن استان ادغام گردید. برای مدل‌سازی و پیش‌بینی خطر نسبی مخاطرات ژئومورفیک در پژوهش حاضر، از مدل تحلیل شبکه ANP استفاده شد. برای هر یک از مقدادیر و دامنه‌های مختلف، وزن و امتیازی به دست آمد که مجموع فازی این امتیازها و ادغام هر لایه در وزن به دست آمده، خطر نسبی وقوع مخاطرات ژئومورفیک را مشخص کرد.

نتایج حاصله نشان داد سه پنهانه آسیب‌پذیر در شمال شرق، جنوب استان یعنی در حوالی شهرستان‌های رودبار و رودسر و تا حدودی املش و مرکز استان، در حوالی شهرستان‌های بندرانزلی، صومعه سرا مناطق پرمخاطره می‌باشند که به ترتیب تحت تأثیر مخاطره‌های سیلاب و ویژگی‌های زمین‌شناختی، نزدیکی به گسل و شیب نسبتاً بالا، سیل خیزی، فرسایش زیاد و تا حدودی حرکات دامنه‌ای می‌باشند.

منطقه فازی به همراه تحلیل فضایی GIS توانسته است به عنوان ابزاری کارآمد در پنهانبندی مخاطرات ژئومورفیک مورد استفاده قرار گیرد. در پایان ذکر این نکته ضروری است که واقع شدن بعضی از پنهانه‌ها در سطوح پایین آسیب‌پذیری و خطر، نشان دهنده وضعیت ایده آل در آن‌ها نبوده و فقط جایگاه پنهانه مزبور را در ارتباط با سایر پنهانه‌ها مشخص می‌نماید.

منابع و مأخذ

- ۱- پور قاسمی، حمیدرضا و همکاران (۱۳۹۱)، پنهانبندی خطر زمین لغزش با استفاده از تئوری بیزین، مجموعه علوم و فنون کشاورزی، علوم آب و خاک، سال ۱۶، شماره ۶۲، صص ۱۰۹-۱۲۱.
- ۲- حبیبی، غریب؛ علیرضا، محمدرضا (۱۳۹۴)، ارزیابی پتانسیل مخاطرات سیل سکونتگاه‌ها در حوضه رودخانه

- planning, priority setting, resource allocation. McGraw-Hill, New York, p 287.
- 24- Sarkis, J., (2002), A Models for Supplier Selection, Jornal of Supply Chain Management, Volume 38, pp 18-28.
- ۱۳- کرمی، فربیا و همکاران، ۱۳۸۷، خطر زمین لرزه و تحلیل ریسک‌پذیری مراکز جمعیتی از زلزله (شهرستان بستان آباد، آذربایجان شرقی)، تحقیقات جغرافیایی، دوره ۲۳، شماره ۴، صص ۹۶-۷۷.
- ۱۴- مقیمی و همکاران (۱۳۹۲)، ارزیابی و پنهانی بندی خطر زمین لغزش در شهر رودبار با استفاده از فرآیند تحلیل شبکه، پژوهش‌های ژئومورفوژوژی کمی، شماره ۴، صص ۱۱۸-۱۰۳.
- ۱۵- نصیری، شهرام؛ (۱۳۸۳)؛ نگرشی بر زمین لغزه‌های ایران (بررسی موردی: ناپایداری شیب‌ها در جاده هراز)؛ پایگاه ملی داده‌های علوم زمین کشور، ص ۱.
- ۱۶- نوروزی خطیری، خدیجه و همکاران (۱۳۹۲) تحلیل ریسک مخاطرات چندگانه شهری در اثر سیل و زلزله (مطالعه موردی: منطقه ۲۰ تهران)، فصلنامه جغرافیا و مخاطرات محیطی، شماره هفتم، صص ۵۳-۶۸.
- 17- Chung, S.H., Lee, A.H.L. & Pearn,W.L. (2005), Analytic Network Process (ANP) Approach for Product Mix Planning in Semiconductor Fabricator, International.
- 18- Dyson, R.G. (2004), Strategic Development and SWOT Analysis at the University of Warwick, European Jornal of Operational Research, Volume 152, pp.631-640.
- 19- Ertay, T., Ruan, D. & Tuzkaya, U.R. (2006), Integrating Data Envelopment Analysis and Analytic Hierarchy for the Facility Design in Manufacturing Systems, Information Science, Volume 176, pp -262-273.
- 20- Jornal of Production Economics, Volume 96, pp. -36-15.
- 21- Kkumar Dahal, R., 2008, Predictive Modeling of Rainfall-induced Landslide Hazard in the Lesser Himalaya of Nepal Based on Weights-of-evidence, Geomorphology, Vol. 102, PP.496-510.
- 22- Lee,L.W.& Kim,S.H.(2001),Using Analytic Network Process and Goal Programming for Interdependent Information System Project Selection, Computers and Operation Research, Volume 27, pp. 382-367.
- 23- Saaty, T. L. (1980), the analytic Hierarchy Process: